

## ПРИЛОЖЕНИЕ ТЕОРИИ ПОДОБИЯ К ОПИСАНИЮ СКОРОСТИ РАЗМЫВАНИЯ ГРУНТА С ПОМОЩЬЮ МЕТОДА СКВАЖИННОЙ ГИДРОТЕХНОЛОГИИ И ОЦЕНКА РАЗМЕРА РЕЗЕРВУАРА ГАЗОХРАНИЛИЩА ПРИ ЗВУКОВОМ ЛОКАЦИОННОМ ЗОНДИРОВАНИИ

А.Н. Вульфсон, О.О. Бородин  
Институт проблем нефти и газа РАН  
e-mail: vulfson@ipng.ru, borodin@ipng.ru

### 1. Введение

Последние десятилетия развития нефтегазового комплекса России характеризуются интенсивной газонефтедобычей в районах Крайнего Севера. При промышленной эксплуатации Бованенковского, Харасавэйского, Новопортовского, Ростовцевского и группы Тамбейских месторождений Ямала выход жидких углеводородов достигнет 10–12 млн т/год. Естественно, что такое количество стабильного конденсата и нефти требует их консервации и хранения. Проблема хранения природных углеводородов усугубляется замерзанием Северного морского пути в зимний период. Эффективное решение данной проблемы предполагает создание резервуарных парков нефтегазохранилищ с суммарным объемом порядка одного миллиона кубометров.

Геометрические параметры сооружаемых подземных резервуаров обуславливаются геокриологическим строением пород на выбранных участках строительства, их мощностью и глубиной залегания, определяющими скорость размывания и форму выработки. Существенны также и деформационно-прочностные характеристики многолетних мерзлых горных пород, которые определяют форму свода резервуара [1].

Наиболее эффективным методом строительства подземных нефтегазохранилищ и добычи полезных ископаемых в мерзлом грунте является метод скважинной гидротехнологии. Вариант этой технологии с вертикальным расположением колонны труб представлен на рис. 1. В рамках этого варианта в мерзлый грунт устанавливаются две вертикальные соосные трубы с радиусами  $R_1$  и  $R_0$  и высотами  $h_1$  и  $h_0$  соответственно. Известны различные схемы реализации этой технологии.

При прямоточной схеме горячая вода поступает в резервуар по внутренней трубе радиусом  $R_0$ , а водно-песчаная смесь откачивается на поверхность через межтрубное кольцевое пространство. Трубы заглубляются на разную высоту ( $h_1 < h_0$ ). Для того чтобы обеспечить попадание пульпы в межтрубное пространство, поверхность внешней трубы перфорируется.

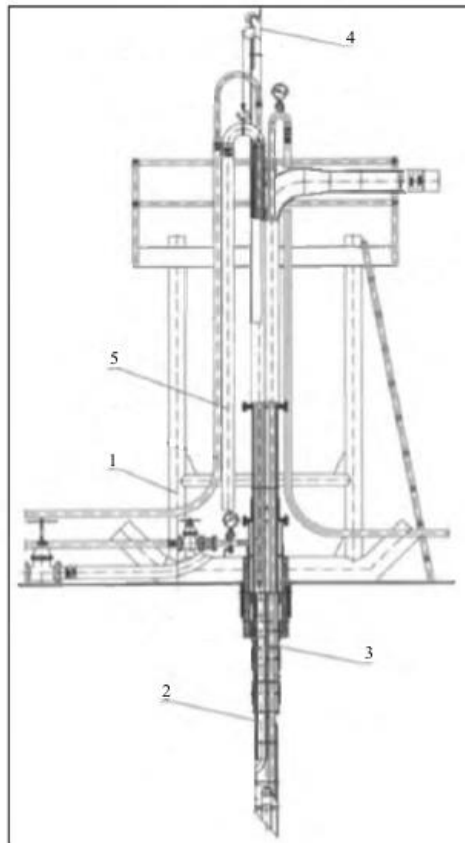


Рис. 1. Эрлифтовый снаряд: 1 – монтажная платформа; 2 – колонна водопадающая; 3 – колонна пульподъемная; 4 – рама монтажная; 5 – водоподающий рукав

Прямоточный режим способствует максимальному перемешиванию жидкости в выработке. При его использовании рост выработки по высоте наиболее равномерен. Недостатком данного режима является невысокая концентрация водно-песчаной смеси.

При противоточной схеме горячая вода поступает в резервуар по межтрубному кольцевому пространству, а водно-песчаная смесь откачивается на поверхность через внутреннюю трубу радиусом  $R_0$ . Трубы заглубляются на разную высоту ( $h_1 < h_0$ ). Перфорации поверхности внешней трубы в этом случае не требуется. Противоточная схема реализации гидротехнологии [2] представлена на рис. 2.

Противоточный режим эффективен для выноса из выработки рассеянных нерастворимых включений. При его использовании водно-песчаная смесь достигает высоких концентраций. Недостатком этого режима является увеличение размывания верхней части резервуара. Подробное описание различных вариантов реализации скважинной гидротехнологии приводится в [2] и [3].

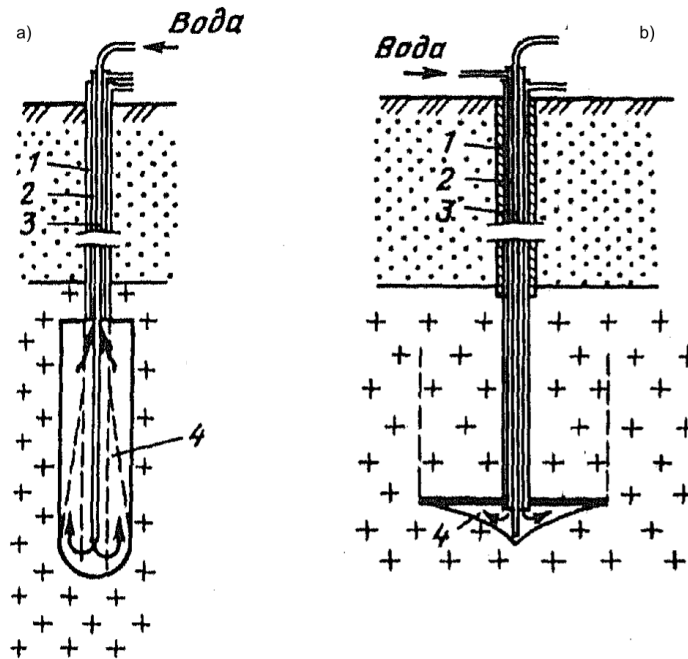


Рис. 2. Схемы основных технических режимов подачи воды: *а* – прямоточная; *б* – противоточная; крестики и точки обозначают мерзлые грунты различной морфологии; цифры обозначают элементы конструкции: 1 – обсадная колонна; 2, 3 – внешняя и центральная подвесные колонны соответственно; 4 – выработка-емкость

Форма подземного резервуара должна обеспечивать устойчивость его свода [4, 5], поэтому технологический процесс размывания грунта сопровождается периодической звуколокационной съемкой полости резервуара, которая позволяет производить корректировку процесса конструирования резервуара в мерзлом грунте и предупреждать нежелательные обрушения грунта в полости резервуара.

Техника звуколокационных измерений реализуется с помощью излучателя-приемника ультразвуковых колебаний, опускаемого в полость. Прибор генерирует узкий луч и фиксирует его отражение от стенок резервуара. За счет поворота излучателя на определенный угол и его азимутальной привязки фиксируется горизонтальное сечение на любой фиксированной высоте выработки. Форма резервуара определяется совокупностью горизонтальных сечений. Имеются звуколокаторы, фиксирующие и вертикальные сечения. При сканировании через одну или две подвесные колонны без их подъема определение формы осуществляется с несколько меньшей точностью и без азимутальной привязки (подробнее о реализации звуколокации см., например, в [6]). Типичная схема развития выработки-емкости, построенная по результатам звуколокации, согласно [2], приведена на рис. 3.

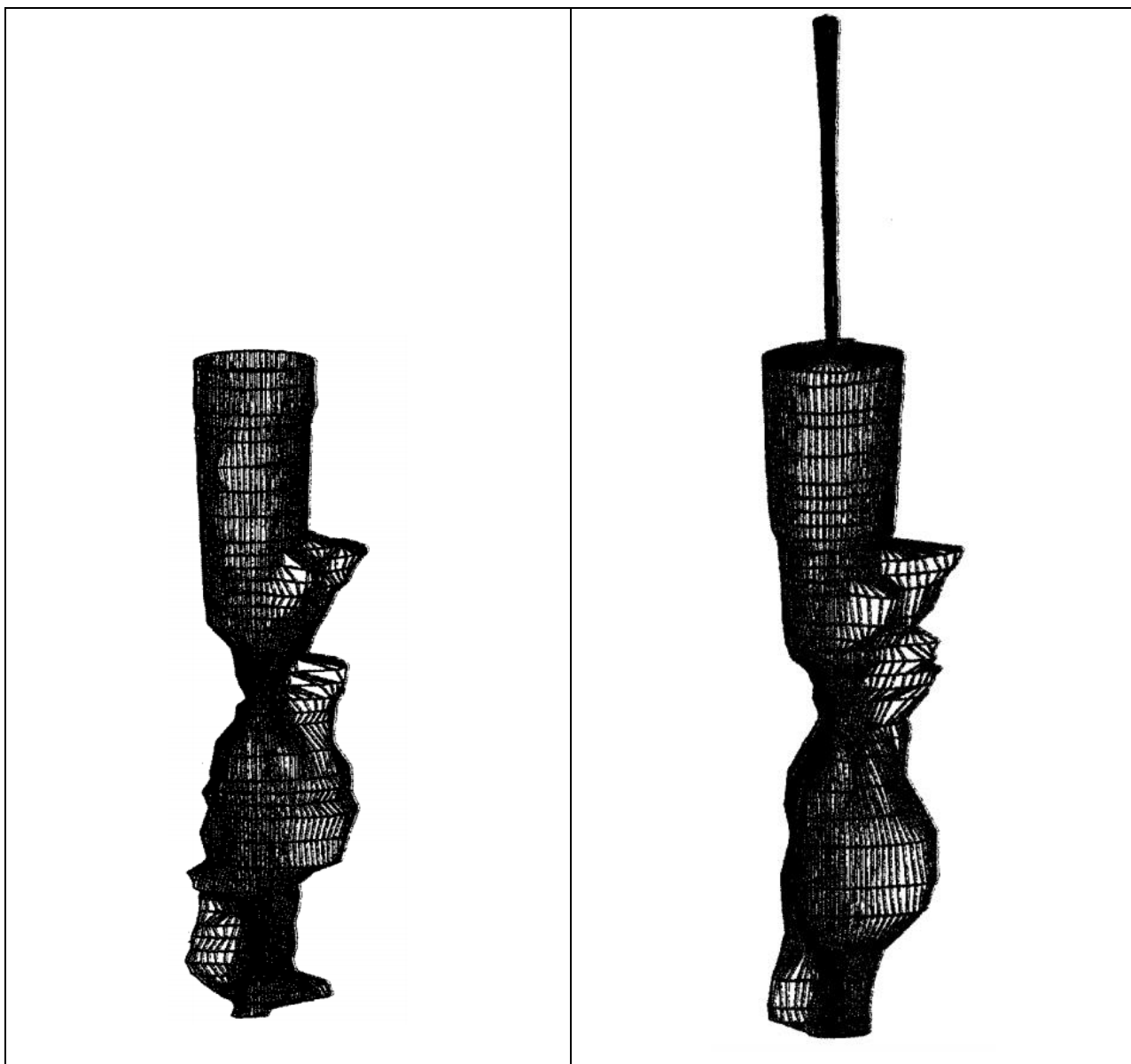


Рис. 3. Схема развития выработки-емкости, построенная по результатам звуколокации [2]

Существенным дополнением к методу звуколокационного сканирования является компьютерный мониторинг, использующий численное моделирование. Его специфика заключается в возможности определения размеров и времени создания емкости хранилища, как до начала, так и до завершения его строительства.

Существующие численные модели позволяют исследовать устойчивость купола резервуара. В известных моделях принято предположение об однородности и изотропности мерзлых пород. Для описания реологических свойств многолетнемерзлых пород используется упруго-вязко-пластичная модель Друкера – Прагера [5]. Физико-

механические и реологические параметры модели определяются в процессе лабораторных экспериментов.

Новые численные модели, позволяющие осуществлять прогноз формирования резервуара с помощью вариационных методов геометрической оптики, предложены в [7, 8].

## 2. Постановка краевой задачи

Пусть  $t$  – время,  $r$ ,  $\varphi$ ,  $z$  – координаты цилиндрической системы, расположенной на поверхности земли так, что ось  $z$  направлена вниз и совпадает с центром вертикальной системы труб. Допустим, что  $T = T(r, \varphi, z, t)$  – абсолютная температура грунта;  $T_0 = 273.1^\circ \text{K}$  – абсолютная температура таяния льда.

Введем локальную безразмерную температуру грунта  $\theta = \theta(r, \varphi, z, t)$ , полагая, что

$$\theta = \frac{T - T_0}{T_0}. \quad (1)$$

Пусть  $R_\infty = R_\infty(\varphi, z, t)$  – боковая граница области размывания грунта;  $R_1$  – радиус внешней трубы,  $h$  – высота трубы, по которой движется теплоноситель (горячая вода или пар), используемый в методе водно-теплового оттаивания.

Будем считать, что процесс размывания происходит в области переменного объема  $V$ , где

$$V = \{0 \leq z \leq h, 0 \leq \varphi \leq 2\pi, R_1 \leq r \leq R_\infty(\varphi, z, t)\}. \quad (2)$$

Пренебрегая собственными размерами внешней трубы  $R_1$ , т.е. стилизуя тепловой источник отрезком прямой, будем считать, что  $V = V_0$ , где

$$V_0 = \{0 \leq z \leq h, 0 \leq \varphi \leq 2\pi, 0 \leq r \leq R_\infty(\varphi, z, t)\}. \quad (3)$$

Для описания процесса размывания в области  $V_0$  используем классическое уравнение теплопроводности в цилиндрической системе координат

$$\frac{\partial}{\partial t} \theta = \frac{1}{r} \frac{\partial}{\partial r} \left( v_r r \frac{\partial}{\partial r} \theta \right) + v_r \frac{1}{r^2} \frac{\partial^2}{\partial^2 \varphi} \theta + v_z \frac{\partial^2}{\partial^2 z} \theta. \quad (4)$$

Здесь  $v_r = \text{const}$ ,  $v_z = \text{const}$  – горизонтальные и вертикальные коэффициенты теплопроводности;  $[v_r] = [v_z] = \text{м}^2/\text{сек}$ . Оценка величины  $\rho_s v_r \approx 7536 \text{ Дж}/\text{м} \cdot \text{ч} \cdot \text{град}$ , где  $\rho_s \approx 1.8 - 2.5 \text{ тонн}/\text{м}^3$  получена в лабораторных экспериментах [9].

На горизонтальных границах области  $V_0$  в качестве краевых условий для уравнения (4) примем краевые условия Неймана:

$$v_z \frac{\partial \theta}{\partial z} \Big|_{z=0} = 0, \quad v_z \frac{\partial \theta}{\partial z} \Big|_{z=h} = 0. \quad (5)$$

На боковых границах области  $V_0$  в качестве краевых условий для уравнения (4) примем краевые смешанные краевые условия Синьорини:

$$-v_r r \frac{\partial \theta}{\partial r} \Big|_{r=0} = Q_0(\varphi, z, t), \quad \theta \Big|_{r=R_\infty(\varphi, z, t)} = 0. \quad (6)$$

Первое соотношения (6) соответствует условию зависимости теплового потока от координат и времени  $Q_0 = Q_0(\varphi, z, t)$ . Заметим, что размерность теплового потока в выражении (6) совпадает с размерностью коэффициента теплопроводности и имеет вид:  $[Q_0] = [v_r r \partial \theta / \partial r] = [v_r] = \text{м}^2 / \text{с}$ .

Второе соотношение (6), представляющее собой краевое условие Дирихле, означает, что внешняя боковая граница слоя соответствует изотерме таяния льда.

Введем усредненные параметры:

$$\begin{aligned} \bar{\theta}(r, t) &= \frac{1}{2\pi h} \int_0^h \int_0^{2\pi} \theta(r, \varphi, z, t) r d\varphi dz \\ \bar{Q}_0(t) &= \frac{1}{2\pi h} \int_0^h \int_0^{2\pi} Q_0(\varphi, z, t) r d\varphi dz \\ \bar{R}_\infty(t) &= \frac{1}{2\pi h} \int_0^h \int_0^{2\pi} R_\infty(\varphi, z, t) r d\varphi dz \end{aligned} \quad (7)$$

Здесь  $\bar{\theta}(r, t)$  – средняя безразмерная температура;  $\bar{Q}_0(t)$  – средний поток тепла;  $\bar{R}_\infty(t)$  – средний линейный размер области размывания.

Усреднение уравнений (3)–(6) с учетом обозначений (7) приводит к соотношениям:

$$\begin{cases} \frac{\partial \bar{\theta}}{\partial t} = \frac{1}{r} \frac{\partial}{\partial r} \left( v_r r \frac{\partial \bar{\theta}}{\partial r} \right), & 0 \leq r \leq \bar{R}_\infty(t) \\ -v_r r \frac{\partial \bar{\theta}}{\partial r} \Big|_{r=0} = \bar{Q}_0(t), & \bar{\theta} \Big|_{r=\bar{R}_\infty(t)} = 0 \end{cases} \quad (8)$$

Для удобства последующего изложения будем опускать символ усреднения над переменными системы (8), тогда:

$$\begin{cases} \frac{\partial}{\partial t} \theta = \frac{1}{r} \frac{\partial}{\partial r} \left( v_r r \frac{\partial}{\partial r} \theta \right), & 0 \leq r \leq R_\infty(t) \\ -v_r r \frac{\partial}{\partial r} \theta \Big|_{r=0} = Q_0(t), & \theta \Big|_{r=R_\infty(t)} = 0 \end{cases} \quad (9)$$

Одномерную краевую задачу (9) можно построить также, опираясь на предположения об осесимметричности и вертикальной однородности. В этих предположениях краевая задача (9) аппроксимирует форму резервуара ПХГ вертикальным круговым цилиндром постоянного сечения с радиусом, зависящим от времени (см. рис. 3).

### 3. Автомодельное решение, соответствующее постоянному потоку тепла

В случае, когда горячая вода постоянной температуры равномерно поступает во внутреннюю трубу, величину потока тепла  $Q_0$  можно считать не зависящей от времени, т.е. постоянной:  $Q_0(t) = Q_0 = const$ .

Для замыкания краевой задачи (9) необходимо задать зависимость  $R_\infty$  от времени. Очевидно, что  $R_\infty = R_\infty(t, v_r, Q_0)$ . Тогда, опираясь на теорию размерности [10–12], получим:

$$R_\infty^2(t) = 2\lambda_\infty v_r t, \quad R_\infty \frac{dR_\infty}{dt} = \lambda_\infty v_r, \quad \lambda_\infty = \lambda_\infty(Q_0 / v_r), \quad (10)$$

где  $\lambda_\infty = \lambda_\infty(Q_0 / v_r)$  – постоянный коэффициент, зависящий от параметров задачи.

Второе соотношение (10) показывает, что скорость оттаивания  $dR_\infty / dt$  убывает с ростом размера области  $R_\infty$ . На это обстоятельство было указано в экспериментах [13].

Введем новую безразмерную переменную  $\eta = r / R_\infty(t)$ . Такое преобразование переводит расширяющуюся область  $0 \leq r \leq R_\infty(t)$  в область постоянной пространственно-временной геометрии  $0 \leq \eta \leq 1$ .

Будем искать автомодельное решение задачи (9), (10) в виде

$$\theta(r, t) = \theta_*(\eta), \quad \eta = \frac{r}{R_\infty(t)}, \quad (11)$$

где  $\eta$  – безразмерный параметр длины;  $\theta_*(\eta)$  – автомодельная функция.

Вычислим поток тепла с учетом (11), тогда

$$v_r r \frac{\partial}{\partial r} \theta = v_r \eta \frac{d}{d\eta} \theta_*. \quad (12)$$

Подстановка (11), (12) в краевые условия (9) приводит к выражениям:

$$-\eta \frac{\partial}{\partial \eta} \theta_* \Big|_{\eta=0} = \frac{Q_0}{v_r} = const, \quad \theta_* \Big|_{\eta=1} = 0. \quad (13)$$

Следуя (11), (12), вычислим производную по времени и производную потока тепла из уравнения (9), тогда

$$\frac{\partial}{\partial t} \theta(r, t) = \frac{d}{d\eta} \theta_* \cdot \frac{d\eta}{dt} = -\frac{r}{R_\infty^2} \frac{dR_\infty}{dt} \frac{d}{d\eta} \theta_* = -\frac{1}{R_\infty} \frac{dR_\infty}{dt} \left( \eta \frac{d}{d\eta} \theta_* \right), \quad (14)$$

$$\frac{1}{r} \frac{\partial}{\partial r} \left( v_r r \frac{\partial}{\partial r} \theta \right) = \frac{v_r}{R_\infty^2} \frac{1}{\eta} \frac{d}{d\eta} \left( \eta \frac{d}{d\eta} \theta_* \right). \quad (15)$$

Подставляя (14), (15) в уравнение (9), найдем, что

$$\frac{1}{R_\infty} \frac{dR_\infty}{dt} \left( \eta \frac{d}{d\eta} \theta_* \right) + \frac{v_r}{R_\infty^2} \frac{1}{\eta} \frac{d}{d\eta} \left( \eta \frac{d}{d\eta} \theta_* \right) = 0 \quad (16)$$

Преобразование (16) с учетом (10) и дополнение полученного соотношения условиями (13) приводят к автомодельной задаче с краевыми условиями Синьорини:

$$\begin{cases} \lambda_\infty \left( \eta \frac{d}{d\eta} \theta_* \right) + \frac{1}{\eta} \frac{d}{d\eta} \left( \eta \frac{d}{d\eta} \theta_* \right) = 0 \\ -\eta \frac{d}{d\eta} \theta_* \Big|_{\eta=0} = \frac{Q_0}{v_r} = const, \quad \theta_* \Big|_{\eta=1} = 0 \end{cases} \quad (17)$$

Для интегрирования (17) введем новую переменную  $w_*$ , пропорциональную кондуктивному потоку тепла:

$$w_*(\eta) = -\eta \frac{d}{d\eta} \theta_*. \quad (18)$$

Подставляя (18) в (17), найдем, что

$$\frac{1}{\eta} \frac{d}{d\eta} w_*(\eta) + \lambda_\infty w_*(\eta) = 0, \quad w_*(0) = \frac{Q_0}{v_r}. \quad (19)$$

Преобразование первого уравнения (19) приводит к равенствам

$$\frac{d}{d\eta} \ln w_* = -\lambda_\infty \eta, \quad \frac{w_*(\eta)}{w_*(0)} = \exp \left\{ -\frac{1}{2} \lambda_\infty \eta^2 \right\}. \quad (20)$$

Следовательно, решение (19) имеет вид:

$$w_*(\eta) = \frac{Q_0}{v_r} \exp \left\{ -\frac{1}{2} \lambda_\infty \eta^2 \right\}. \quad (21)$$

Преобразование (21) с учетом (18) приводит к соотношению для нормированного кондуктивного потока:

$$-\frac{v_r}{Q_o} r \frac{d}{dr} \theta(r, t) = \exp \left\{ -\frac{1}{2} \lambda_\infty \frac{r^2}{R_\infty^2(t)} \right\}. \quad (22)$$

Профиль нормированного кондуктивного потока тепла (22) в автомодельных переменных изображен на рис. 4.

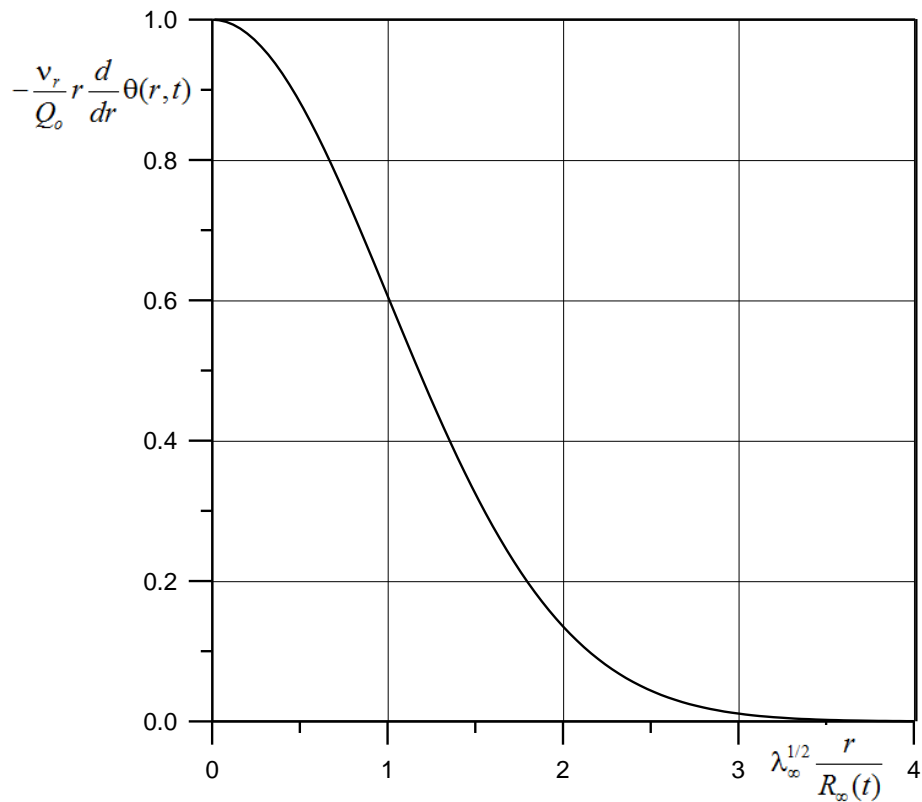


Рис. 4. Профиль кондуктивного потока тепла (22)

Для построения автомодельного профиля  $\theta_*(\eta)$  проинтегрируем (18) с учетом (21) и краевого условия (17), тогда

$$\theta_*(\eta) = \frac{Q_o}{v_r} \int_{\eta}^1 \frac{1}{\eta} \exp \left\{ -\frac{1}{2} \lambda_\infty \eta^2 \right\} d\eta = \frac{Q_o}{2v_r} \int_{\eta}^1 \frac{2}{\eta^2} \exp \left\{ -\frac{1}{2} \lambda_\infty \eta^2 \right\} \frac{1}{2} d\eta^2. \quad (23)$$

Введем новую переменную  $x = \eta^2 / 2$ , где  $0 \leq x \leq 1/2$ . Преобразование интеграла (23) с использованием переменной  $x = \eta^2 / 2$  приводит к равенству:

$$\theta_*(\eta) = \frac{Q_o}{v_r} \int_{\eta}^1 \frac{2}{\eta^2} \exp \left\{ -\frac{1}{2} \lambda_\infty \eta^2 \right\} \frac{1}{2} d\eta^2 = \frac{Q_o}{2v_r} \int_{\sqrt{2x}}^{1/2} \frac{1}{x} \exp \{-\lambda_\infty x\} dx. \quad (24)$$

Неопределенный интеграл в правой части (24) допускает асимптотическое представление [14]

$$\int \frac{1}{\xi} \exp\{-\lambda_{\infty} \xi\} d\xi = \ln \xi - \frac{\lambda_{\infty} \xi}{1 \cdot 1!} + \frac{(\lambda_{\infty} \xi)^2}{2 \cdot 2!} - \frac{(\lambda_{\infty} \xi)^3}{3 \cdot 3!} + \dots \quad (25)$$

Подставляя (25) в (24), получим:

$$\theta(r, t) = \frac{Q_0}{2v_r} \left\{ \ln \frac{1/2}{\sqrt{2x}} - \frac{\lambda_{\infty}}{1 \cdot 1!} (1/2 - \sqrt{2x}) + \right. \\ \left. + \frac{\lambda_{\infty}^2}{2 \cdot 2!} (1/2 - \sqrt{2x})(1/2 + \sqrt{2x}) + \dots \right\}, \quad x = \frac{1}{2} \eta^2 = \frac{1}{2} \frac{r^2}{R_{\infty}^2(t)} \quad (26)$$

Равенство (26) представляет асимптотическое разложение автомодельного профиля безразмерной температуры водно-песчаной смеси в зоне размывания.

#### 4. Заключение

В представленной работе предложен один из вариантов аналитической модели процесса размывания грунта с помощью метода скважинной гидротехнологии, широко используемого при построении подземных нефтегазохранилищ в мерзлых грунтах. В основу модели положено уравнение теплопроводности в области с переменной боковой границей и его автомодельное решение, соответствующее постоянному потоку тепла.

Полученные результаты позволяют оценить закон распространения фронта размывания, соответствующего изменению характерного размера газохранилища. Эта зависимость представляет интерес для интерпретации последовательности временных данных о размерах резервуара, полученных путем использования метода звукового локационного зондирования.

В штатном режиме строительства корректировка формы подземного нефтегазохранилища и проверка его герметичности на этапах размывания осуществляются с применением метод звуколокационного сканирования полости резервуара. Результаты работы могут быть эффективно использованы при построении и реализации компьютерного мониторинга, определяющего размеры и время создания емкости хранилища, как до начала, так и до завершения его строительства.

*Статья написана в рамках выполнения государственного задания (тема «Энергетика, динамика и дегазация Земли, теоретические и экспериментальные основы инновационных сейсмоакустических технологий исследования геологической среды и контроля за объектами нефтегазодобычи», № АААА-А16-116021510125-7).*

## ЛИТЕРАТУРА

1. *Баулин В.В., Дубиков Г.И., Аксенов В.И.* и др. Геокриологические условия Харасавэйского и Крузенштерновского газоконденсатных месторождений (полуостров Ямал). М.: ГЕОС, 2003. 180 с.
2. *Смирнов В.И.* Строительство подземных газонефтехранилищ: учеб. пособие для вузов. М.: Газоил пресс, 2000. 250 с.
3. *Аксютин О.Е., Казарян В.А., Ишков А.Г., Хлопцов В.Г., Теплов М.К., Хрулев А.С., Савич О.А., Сурин С.Д.* Строительство и эксплуатация резервуаров в многолетнемерзлых осадочных породах. М.; Ижевск: Ин-т компьютер. исслед., 2013. 432 с.
4. *Алимжанов М.Т., Гордон В.И.* Об осесимметричной потере устойчивости глубокой подземной полости сферической формы // Изв. вузов. Горн. журн. 1979. № 10. С. 19–23.
5. *Воронова А.В., Скворцов А.А.* Оценка устойчивости подземных резервуаров в многолетнемерзлых породах // Горн. информ.-аналит. бюл.: науч.-техн. журн. 2018. № 9. – Режим доступа: <http://www.giab-online.ru> (Дата обращения 18.10.2018).
6. *Зозуля Е.Н., Селезнёв Д.В., Божedomов В.Г., Сотников В.Н., Пятницкий Д.Ю.* Контроль объема и формы подземных резервуаров ПХГ в процессе их строительства и эксплуатации методом ультразвуковой локации // Нефть. Газ. Новации. 2011. № 8. С. 56–61.
7. *Вульфсон А.Н., Бородин О.О.* О возможности использования оптического принципа Гюйгенса для расчета формы резервуара подземного газохранилища в мерзлых грунтах [Электрон. ресурс] // Актуал. пробл. нефти и газа: науч. сет. изд. 2016. Вып.3 (15). 12 с. – Режим доступа: <http://www.oilgasjournal.ru> (Дата обращения 18.10.2018).
8. *Вульфсон А.Н., Бородин О.О.* Лучевой метод геометрической оптики и перемещение фронта размывания при формировании объема подземного резервуара [Электрон. ресурс] // Актуал. пробл. нефти и газа. 2018. Вып. 2(21). 9 с.– Режим доступа: <http://www.oilgasjournal.ru> (Дата обращения 18.10.2018).
9. *Каркашадзе Г.Г., Шергин Д.В., Луняков В.А., Банников Д.О.* Методика определения удельной теплоемкости и коэффициента температуропроводности горных пород методом импульсного нагрева в лабораторных условиях // Горн. информ.-аналит. бюл.: науч.-техн. журн. 2011. № 9. С. 137–140.

10. *Седов Л.И.* Методы подобия и размерности в механике. 8-е изд. М.: Наука, 1973. 440 с.
11. *Баренблатт Г.И.* Автомодельные явления – анализ размерностей и скейлинг. М.: Интеллект, 2009. 216 с.
12. *Вульфсон А.Н.* Автомодельность и распространение верхней границы конвективных термик в нейтрально стратифицированной атмосфере, вызванное точечными линейными и плоскими источниками тепла // Изв. РАН. Физика атмосферы и океана. 1998. Т. 34, №4. С. 557–564.
13. *Карпухин А.Н., Савич О.И., Сурин С.Д.* Особенности процесса оттаивания многолетнемерзлых песков при скважинной гидродобыче на полуострове Ямал // Горн. информ.-аналит. бюл.: науч.-техн. журн. 2010. №4. С. 365–371.
14. *Двайт Г.Б.* Таблицы интегралов и другие математические формулы. 4-е изд. М.: Наука, 1973. 228 с.